

III-94 インパルス音波による柿田川水源の地層探査実験

東京工業大学 正員 奥島基良

" 正員 ○本岡誠一

" 木下信行

1. まえがき 筆者らは、地表上に送受波器を置き、パルス反射法を用い、受信信号に特殊な実時間相関処理を施し、比較的浅い地層の断面図を比較的容易に製作する技術を開発を企画し、研究を進めている。その方法は、地表上に置いた電磁誘導形音源から大勢力のインパルス音波を地中に放射し、地層の境界面からの反射波を地表の数ヶ所に設置した圧電形受波器で受波し、受波器の出力を多チャンネルデータレコーダで同時に録音したのち、再生時に各チャンネル出力にそれを適当な遅延を与え合算し、かつ信号処理を行なうことによって受波指向性を作り、遅延時間を変えることによって受波指向性の方向を変え、それによって地層内部をscanして地層断面図を作製しようとするものである。本報告は、柿田川湧水の水源部の地下層の断面図を作製する目的で行った実験結果について述べる。

2. 測定期日 昭和45年8月8日

3. 測定場所 沼津市清水町の柿田川湧水源（概略図参照）

4. 測定装置および測定 a) 電磁誘導形送波器：うず巻コイルに衝撃大電流を流したときに対置した振動板との間に発生する反発力を振動板に接した地中に伝え、地中に鋭い衝撃インパルス音波を発生させる。b) 受波器：圧電セラミックPZTで作ったランジバン形受波器で、受音面は土砂との結合を密にするために鋭いV溝が切ってある。図1に送受波器の構造図を示す。その他の測定装置の概要とブロック図を図2に示す。測定は湧水している水面より、高さ約4mの丘の上に、送波器を中心左右対称に2個ずつ計4個の受波器を1.1m間隔で配置し、送波器より大勢力のインパルス音波を地中に放射し、各層からの反射波を同時に4個の受波器で受信し、受信出力をデータレコーダに録音する。

5. 信号処理の方法 図3に信号処理の概要とブロック図を示す。4個の受信出力は、指向性を与えるために、内3個に適当な遅延をえたのち、2個づつを重ね合わせて加算し、その2個の出力を図4の装置で相関処理を行なう。すなはち、図4で入力IとIIが同符号のときはIとIIの和の絶対値が正の出力として、異符号のときはIとIIの和の絶対値が負の出力として、また、IとIIのいずれか一方が零のときは出力が零となるような信号

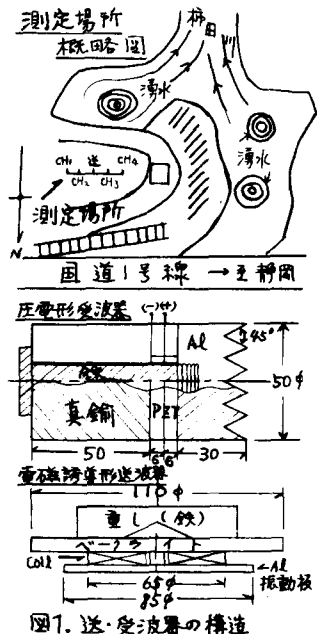


図1. 送・受波器の構造

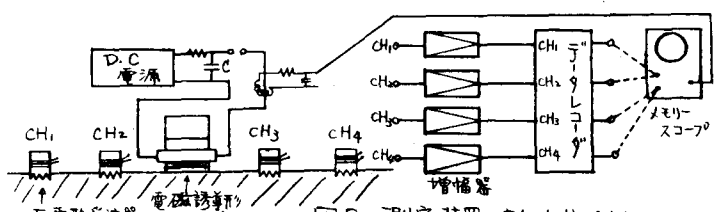


図2. 測定装置のBlockdiagram

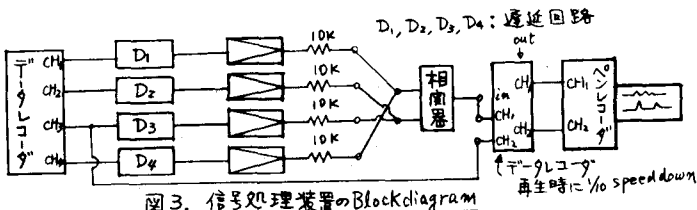


図3. 信号処理装置のBlockdiagram

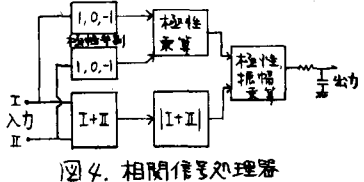


図4. 相関信号処理器

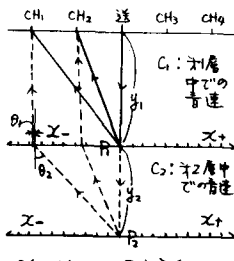


図5. 音波の屈折と探査方向

処理を行なう。さらに、その出力を短時間平均する。

6. 地層の概要の推定 地層中の音速を仮定した場合、測定時に設置した送受波器間距離に比べて、探査すべき地層の位置が十分遠方と見なせるとか否かで、受波出力に与えるべき遅延時間の決め方が異なってくる。したがって、地層の概要を推定した上で、受信出力に与える遅延時間を決めなければならない。そこで、4個の受波器で同時に録音した反射波の内、最初に、送波器から一番遠方に配置した受波器2個(CH₁とCH₄)で受けた反射波

を同時に取り出し、遅延零の状態で、相関信号処理を施した結果、オ1層とオ2層との境界面P₁からの反射波と考えられる出力信号がけげ30msの位置に、オ2層とオ3層との境界面P₂からの反射波と考えられる信号が40.5msの位置に現われた。なお、この場合には、送受波器の垂直方向を探査したことになる。同様に、CH₂とCH₃で受けた反射波を上述のごとく信号処理を施した結果、P₁、P₂からの反射波と考えられる出力信号が27.5ms、39.5msの位置に現われた。したがって、それれP₁からの反射波と推定された出力信号の位置30ms(CH₁とCH₄)と27.5ms(CH₂とCH₃)について、送受波器間距離を考慮に入れ、オ1層中の音速C₁=300m/sと仮定した上で、送波器からP₁までの垂直距離を求めると両者とも、ほぼy₁=4.2mとなった。さらに、測定場所を考えた場合、オ2層は水を十分に含んだ土砂層と推定されるので、y₁=4.2mは水面から送受波器を設置した丘の高さを表わしているものと考えられる。そこで、測定場所を撮影した写真より水面から丘の高さを求めた結果、約4.3mだったことを考えれば、両者は良く一致していふ。次に、オ2層とオ3層との境界面P₂からの反射波と考えられる出力信号の位置40.5ms(CH₁とCH₄)と39.5ms(CH₂とCH₃)に着目する。測定場所の状況より、オ2層中の音速C₂=1700m/sと仮定した。この場合、オ1層とオ2層中の音速が違うたり、スネルの法則に従った音波の屈折を考慮に入れて、P₂の位置を決めなくてはならない。そこで、C₁/C₂=17/3なる条件と、P₁とP₂の反射波の時間間隔がいずれの場合も約12msあり、送受波器間距離に比べてP₁からP₂までの垂直距離はかなり長いこと等を考慮に入れると音線の屈折再び状態はθ₁<<θ₂(図5参照)となることが予想される。したがって、オ1層とオ2層との境界面から各受波器までの音線を直線で近似(θ₁=0)してy₂の距離を求め、P₂の位置を決めた。その結果、41ms、39.5msのどちらの場合もy₂=11mとなった。水面下11mの附近よりオ3層が存在しているものと推定される。

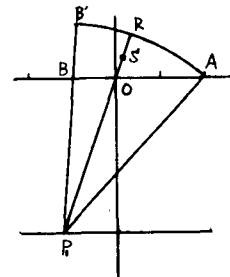
7. 遅延時間の決め方 前もって、推定された地層の境界の位置を決め、その位置から反射信号が時間的に一改するように径路差に相当した電気的遅延を3個の受信信号に与える。探査位置を変えるには受信信号の遅延時間を変えればよい。遅延時間を順次変えてゆけば空間をscanして反射体を探査することができる。a)オ1層とオ2層の境界面の探査の場合 推定された境界の位置P₁を中心にして、送受波器の配列に対し平行なX₊、X₋方向に20cm間隔で探査位置を決めた。X₄方向を探査する場合は受波

器CH₁が受信した探査すべき目的位置からの反射波の位相に、他の3個の受波器で同時に受信した同じ目的地点からの反射波の位相を合せるように、CH₂, CH₃, CH₄の経路差を求め、求めた経路差に相当した電気的遅延量を求め遅延時間を決める。X+方向を探査する場合はX-方向を探査する場合と逆の操作を行ない電気的遅延量を決めねば良い。この場合、推定した地表面からオ2層との境界面までの距離y₁=4.2mは送受波器間距離1.1mに比べて、十分遠方ではないので、推定した境界の位置P₁から4個の受波器までの経路差を無視できない。したがって、探査位置が狭い範囲となる。しかし、推定した境界面の位置P₁から4個の受波器までの経路差に放射インパルス音波の波長の1/10程度の誤差を許容すれば、探査位置が広がる。(計算結果では、地表面下4.2mの位置に探査点を合せても、地表面下3.1m~6.3mの範囲を探査したことになる。) b) オ2層とオ3層の境界面の探査の場合 オ2層とオ3層の境界だと推定した水面下11m地点の位置P₂を中心に、X+, X-方向に40cm間隔で探査位置を決めた。遅延時間の決め方はa)の場合と同じ操作を行なうのであるが、オ1層とオ2層中での音速が異なるため、スケルの法則に従った音線の屈折を考慮に入れ、電気的遅延量を決めた。この場合、推定した境界面までの距離(水面下11m)は送受波器間距離1.1mに比べて推定境界面の位置P₂から4個の受波器までの経路差を無視できる範囲にある。したがって、この場合は、探査範囲が非常に広くなる。すなわち、水面下11m地点に探査位置を合せてても、計算結果では水面下8m以後全ての範囲を探査したことになる。この場合、遅延時間を見る事は探査位置を決める事より、ましろ、探査方向を決める事になる。

8. 信号処理後の記録の表示方法 a) オ1層とオ2層の推定境界面の探査(音波の屈折がない場合)

図6で、B点の位置の受波器CH₂に、BB'に相当する遅延量を与える。このとき、O点から放射された音波がP点で反射され、A点で O: 音源の位置(送波器)
受波されるまでの時間と、B点で受波され、BB'に相当する遅延量を与えた後までの時間は等しい。次に、遅延をこの状態にしてエコーグラムを取り。受信波形のstartは送信信号で行なっているので、信号処理後の記録のstartの位置をS₀に

$$\begin{aligned} \overline{PA} &= \overline{PR} = \overline{PB'} \quad \therefore \overline{OP} + \overline{AP} = 2\overline{SP} \\ \overline{OP} + \overline{PB} + \overline{BB'} &= \overline{OP} + \overline{PB'} = 2\overline{SP} \\ (\overline{OS} = \overline{SR} = \frac{1}{2}\overline{OR}) \end{aligned}$$



おり、SP線上に表示した結果を図8に示した。

図6. 音波の屈折を考えない場合の記録表示

b) オ2層とオ3層の境界面の探査(音波の屈折を考慮に入れた場合)

図7に概略を示す。まず、y₁とy₂の P₂: 基準となる反射体の位置

境界面y₁での音波の屈折点を求める y₁: オ1層の厚さ(4.2m)

ために、y₁, y₂中での音速をy₂中で y₂: オ2層(42) " " "(11m)"

の音速C₂で規格化した見掛け上の送受

波面(y₁ × C₂)を描く。この場合、y₁ C₁: オ1層(42)中での音速(300m/s)

× C₁からP₂までは音速を等しいとし C₂: オ2層(42) " " "(1700m/s)"

て" " 3ので音波の屈折はなく、見掛け A: P₂から最も遠い受波器CH₄の位置

上の音波O₁から放射された音波はP₂ O: 音源の位置(送波器)

点で反射され見掛け上の受信点A₁で受波される。

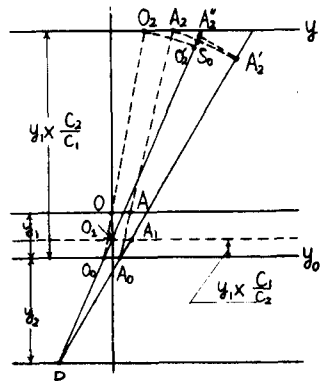
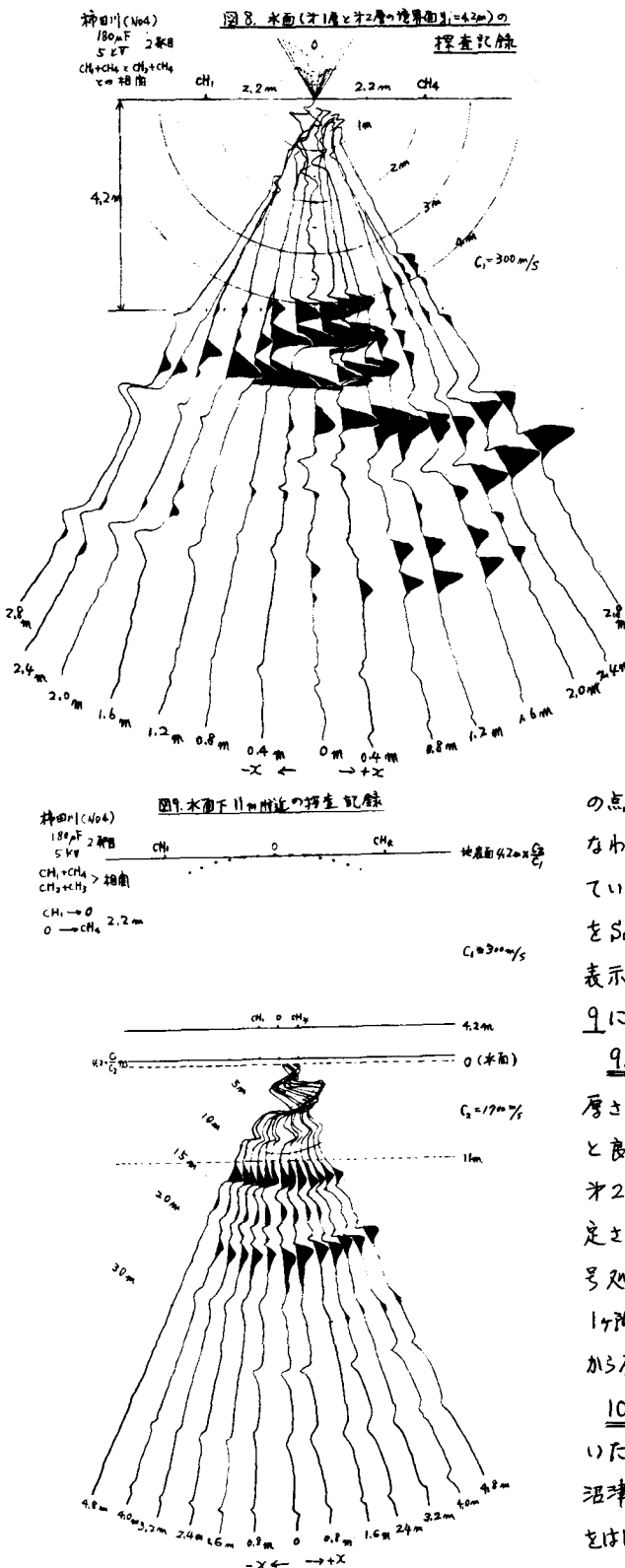


図7. 音波の屈折を考慮に入れた近似的記録の表示



したがって、直線 $\overline{BO_1}$ と $\overline{PA_1}$ が y_1 と y_2 の境界面 $y_1=4.2\text{m}$ を横切る地点を O_0 、 A_0 とし、 O_0 、 A_0 を y_2 での音波の屈折点とする。 O 点より放射されたインパルス音波は O_0 点で屈折し P_2 点に到達する。次に、 P_2 点で反射した音波は A_0 点で屈折し、 A 点で受信されるものとする。さらに、 $C_1 < C_2$ で、かつ、信号処理後の記録は時間もが一定のスケールで描かれているので、 O の見掛け上の地表面の長さは $y_1 \times \frac{C_2}{C_1}$ となる。(したがって、平行線 \overline{OA} と平行に $y_1 \times \frac{C_2}{C_1} (=y)$ の直線を引き、 $\overline{O_0O}$ の延長線と地表面 y との交点 O_2 を求め、 $\overline{BO_1}$ の延長線上に $\overline{O_0O_2} = \overline{O_0O'_2}$ となる点 O'_2 を決める。また、同様に、 $\overline{A_0A}$ の延長線と地表面 y との交点 A_2 を求め、 $\overline{P_2A_0}$ の延長線上に $\overline{A_0A_2} = \overline{A_0A'_2}$ となる点 A'_2 を決める。次に、 $\overline{P_2A'_2} = \overline{P_2A''_2}$ なる点 A''_2 を $\overline{P_2O_1}$ の延長線上に求め、 $\overline{O_2A''_2}/2$ の点を p として記録のstartの位置とする。すなわち、受信波形のstartは送信信号で行なつていこうので、信号処理後の記録のstartの位置を p_0 点におき、信号処理後の波形を $\overline{SP_2}$ 線上に表示する。この手法を用いて表示した結果を図9に示した。

9. おしえ 信号処理後の記録より、オ1層の厚さ $y_1=4.2\text{m}$ の値は写真撮影により求めた距離と良く一致していた。また、水面下11m附近にオ2層の性質とかなり異なった地層の存在が推定される。筆者らの考査した地層探査装置と信号処理方法の利点は取扱いが容易であること、1ヶ所の測定でも遅延時間を変えた一連の出力波形から反射体の存在位置を確認できることである。

10. 謝辞 本実験を行なうに当り、御協力いただいた建設省土木研究所木下武雄氏、建設省中部地盤沼津工事事務所本山翁氏、高橋春夫氏、飯田恒造氏はじめ、工事事務所の方々に深謝致します。